

Geología práctica en la provincia de Soria
Curso 2021 - 22



Aspectos geológicos generales de la
Tierra de Medinaceli

Mayo 2022

Límites de la placa Ibérica (individualización).

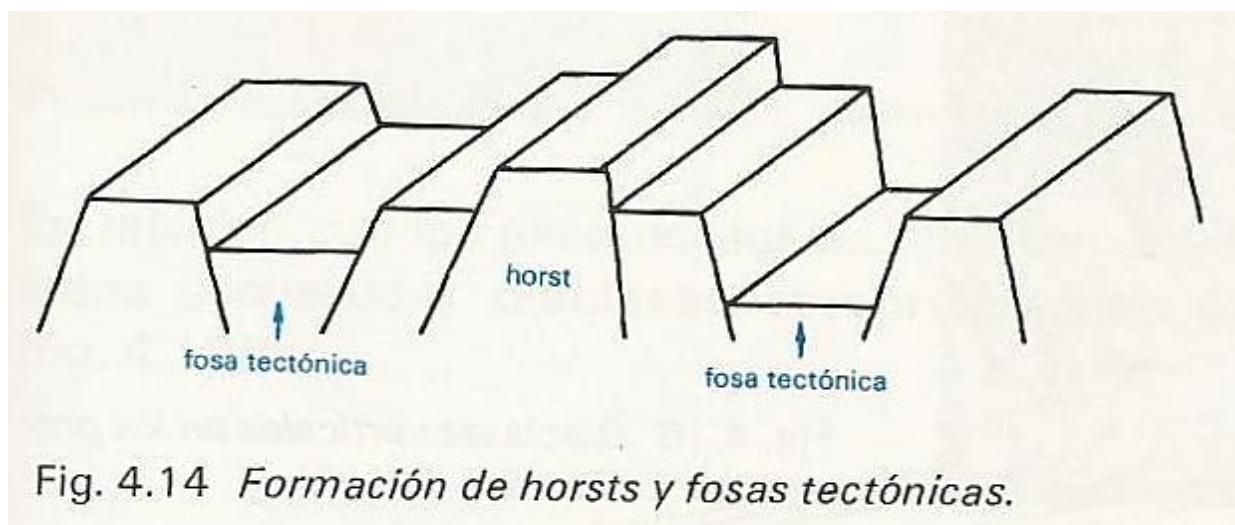
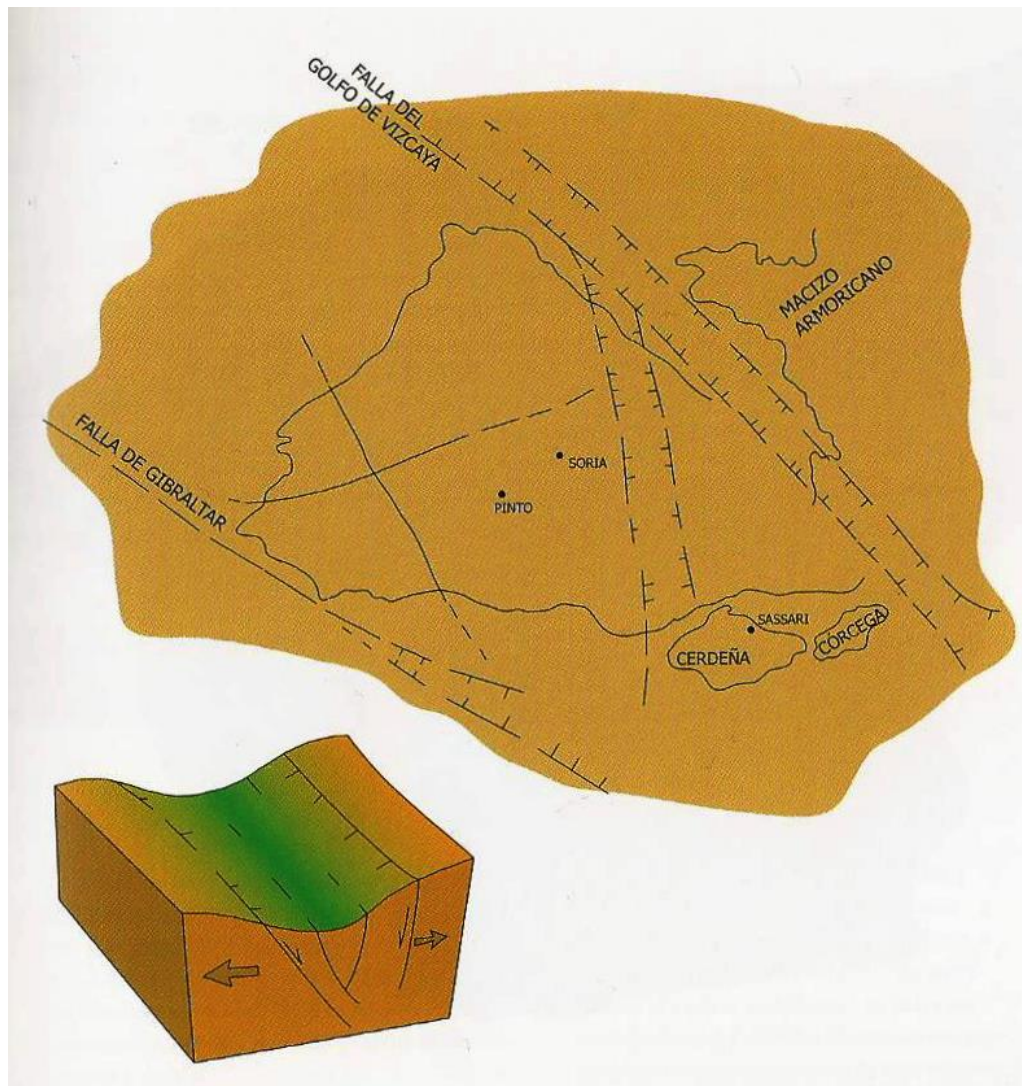
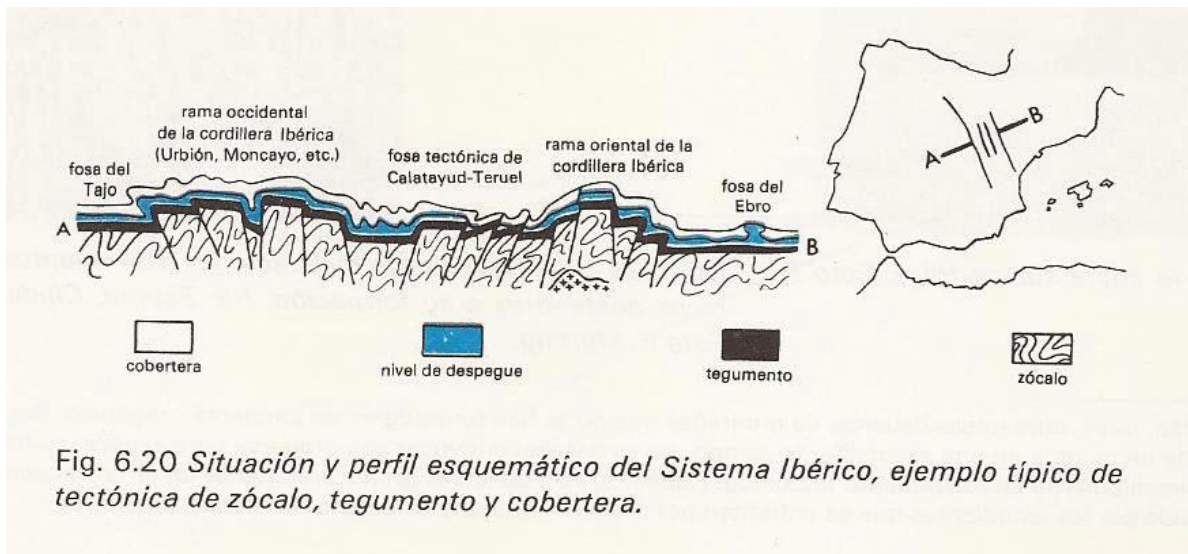
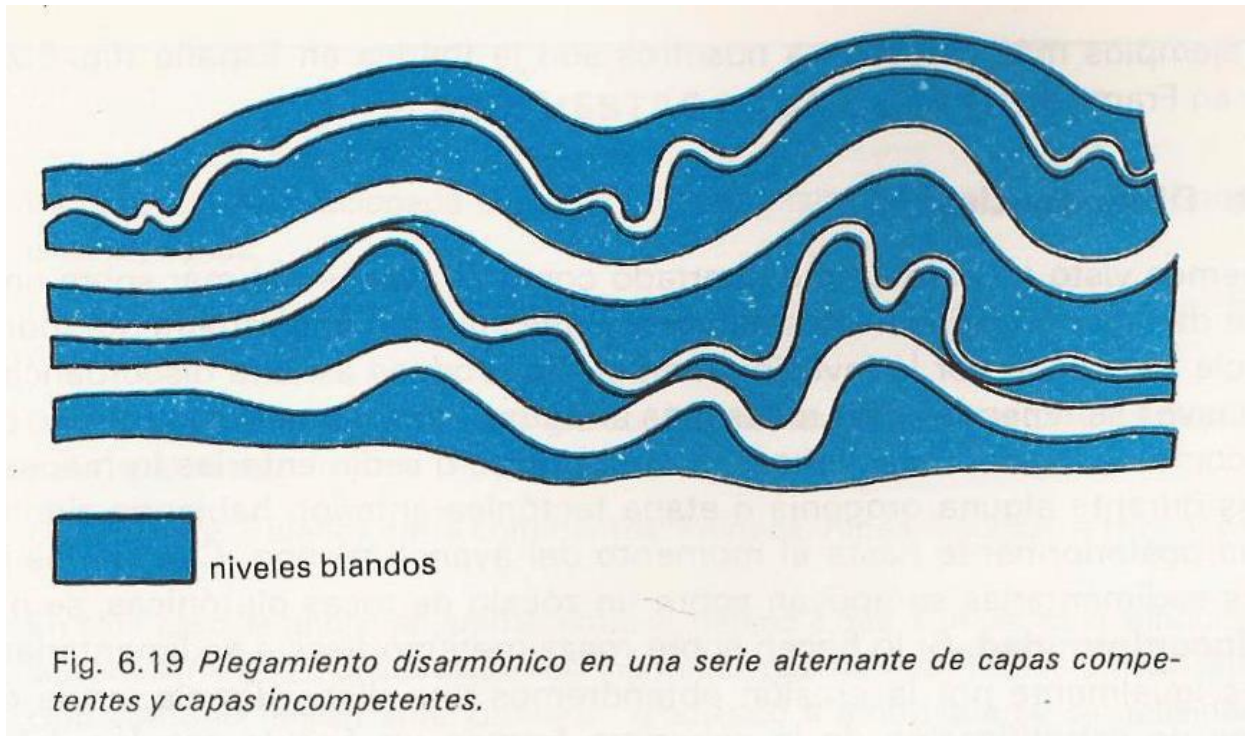


Fig. 4.14 *Formación de horsts y fosas tectónicas.*



Paradas previstas:

1 Proximidades de Blocona:

- **Observación facies Muschelkalk** (Tramo inferior de dolomías tableadas y superior de dolomías, margas, arcillas y limolitas). Utilización de las calizas de esta facies en construcción.

- **Observación materiales facies Keuper** (arcillas, margas y yesos).
- **Formaciones Dolomías tableadas de Imón y Carniolas de Cortes de Tajuña.**
- **Geomorfología** (Morras).
- **Hidrología** (valle del Ebro).

2 Alrededores de Miño de Medinaceli:

- **Observación facies Bunttsandstein** (areniscas y arcillas rojas).
- **Hidrología** (valle del Duero).

3 Arco de Medinaceli:

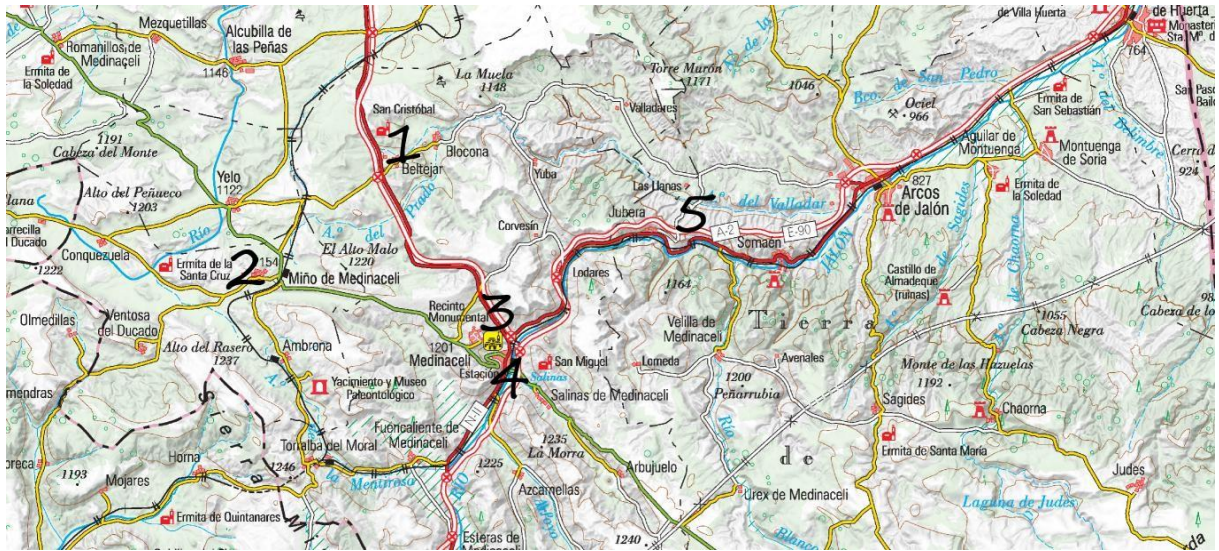
- **Observación superficie de erosión fundamental de la Cordillera Ibérica** (arrasamiento), **y superficie superior de la fosa de Almazán** (relleno).
- **Materiales de construcción del Arco Romano.**

4 Talud en Medinaceli Estación.

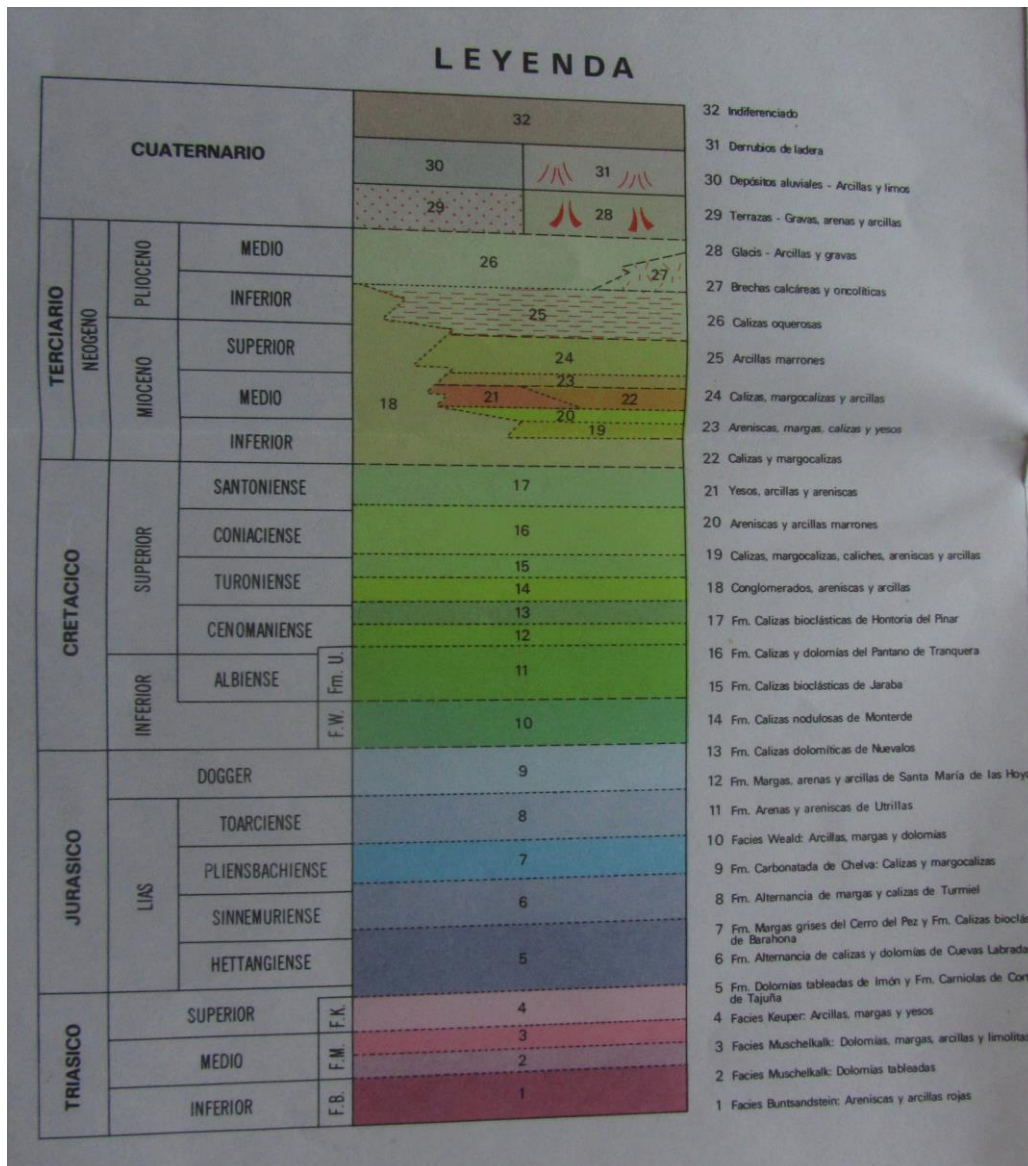
- **Corte en materiales facies Muschelkalk** (Interés didáctico).

5 Mirador en Jubera:

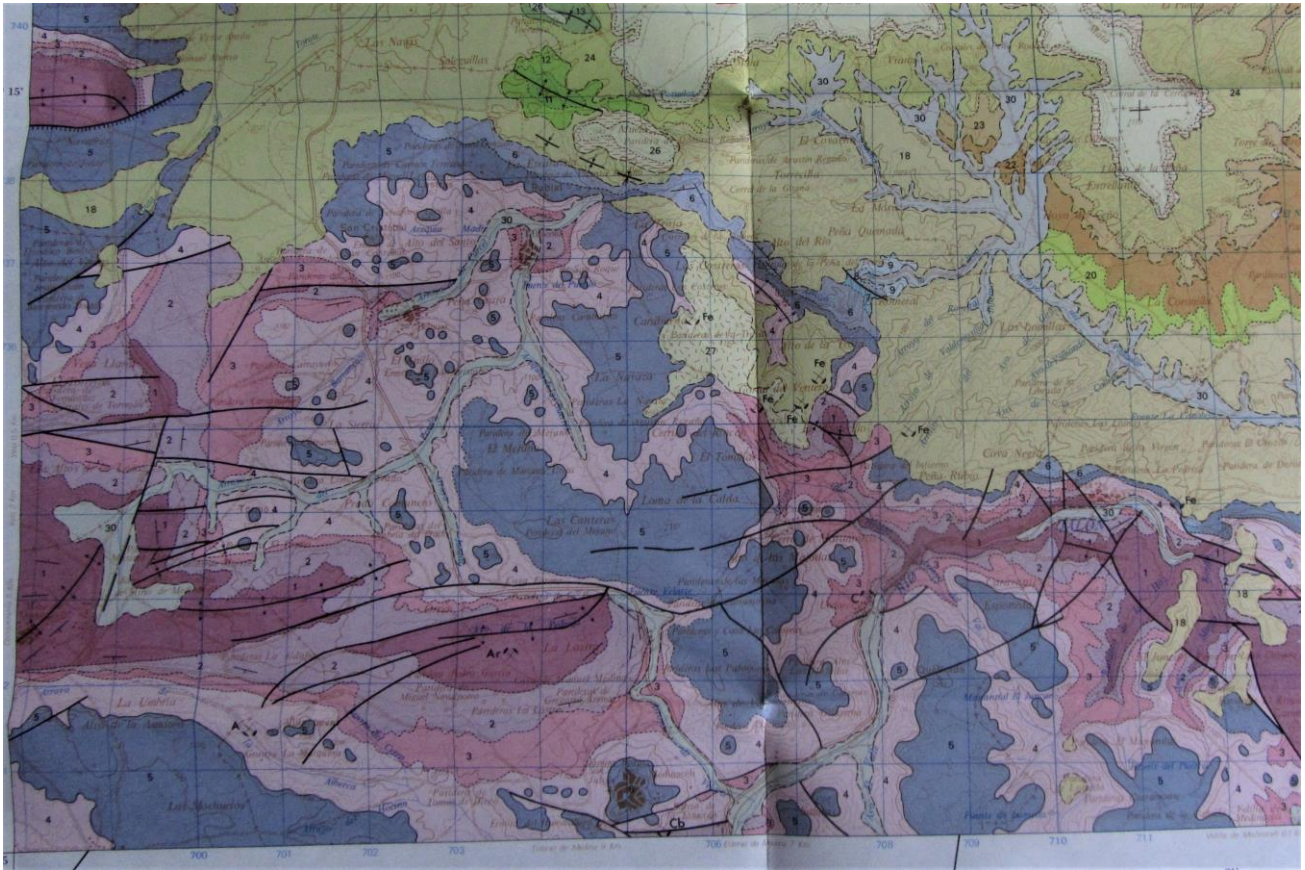
- **Discordancia.**
- **Cañón del Jalón.**
- **Repaso de rocas mesozoicas,** y observación de la formación Cuevas Labradas.
- **Observación de los materiales terciarios de la Fosa de Almazán** (nos encontramos sobre los conglomerados del borde de la cuenca).
- **Observación y recogida de yesos en facies Keuper.**



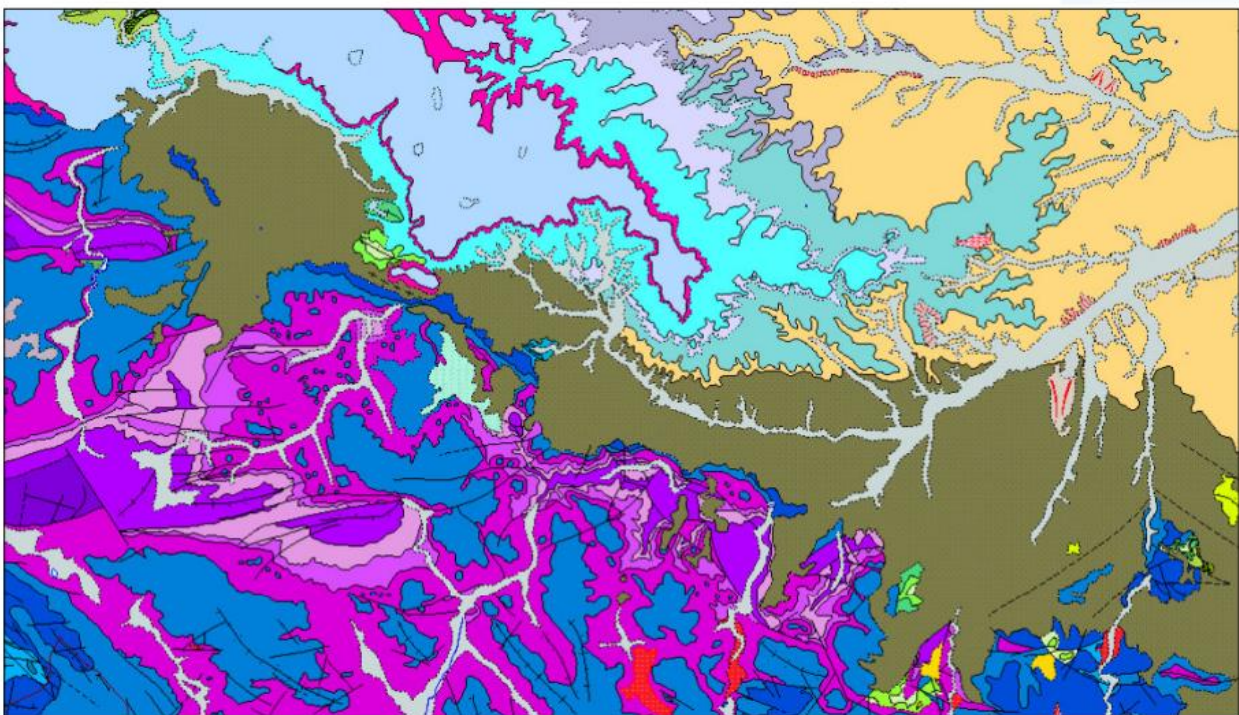
Mapa topográfico con indicación de las paradas previstas



Leyenda hoja 435 (Arcos de Jalón).



Cuadrante suroeste de la hoja 435 (Arcos de Jalón).



mayo 10, 2022

□ Comunidades

1:143,944
0 1.25 2.5 5 mi
0 2 4 8 km

Sources: Esri, HERE, Garmin, USGS, Intermap, INCREMENT P, NRCan, Esri Japan, METI, Esri China (Hong Kong), Esri Korea, Esri (Thailand), NGCC, (c) OpenStreetMap contributors, and the GIS User Community

Imagen Geode (cartografía digital continua a escala 1:50:000).

EÓN	ERA	PERÍODO	SUBPERÍODO	EDAD (Ma)		
FANEROZOICO	CENOZOICO	CUATERNARIO	HOLOCENO	0,0		
			PLEISTOCENO	0,008		
		TERCIARIO	NEÓGENO	PLIOCENO	1,6	
				MIOCENO	5,2	
				OLIGOCENO	23,3	
			PALEÓGENO	EOCENO	35,4	
				PALOCENO	56,5	
				MESOZOICO	CRETÁCICO	65
					JURÁSICO	145
	TRIÁSICO	208				
	PALEOZOICO	PÉRMICO	245			
		CARBONÍFERO	290			
		DEVÓNICO	360			
		SILÚRICO	410			
		ORDOVÍCICO	440			
		CÁMBRICO	510			
	PROTEROZOICO	VÉNDICO	540			
			600			

Cuadro cronoestratigráfico del Fanerozoico.

(fig.2)



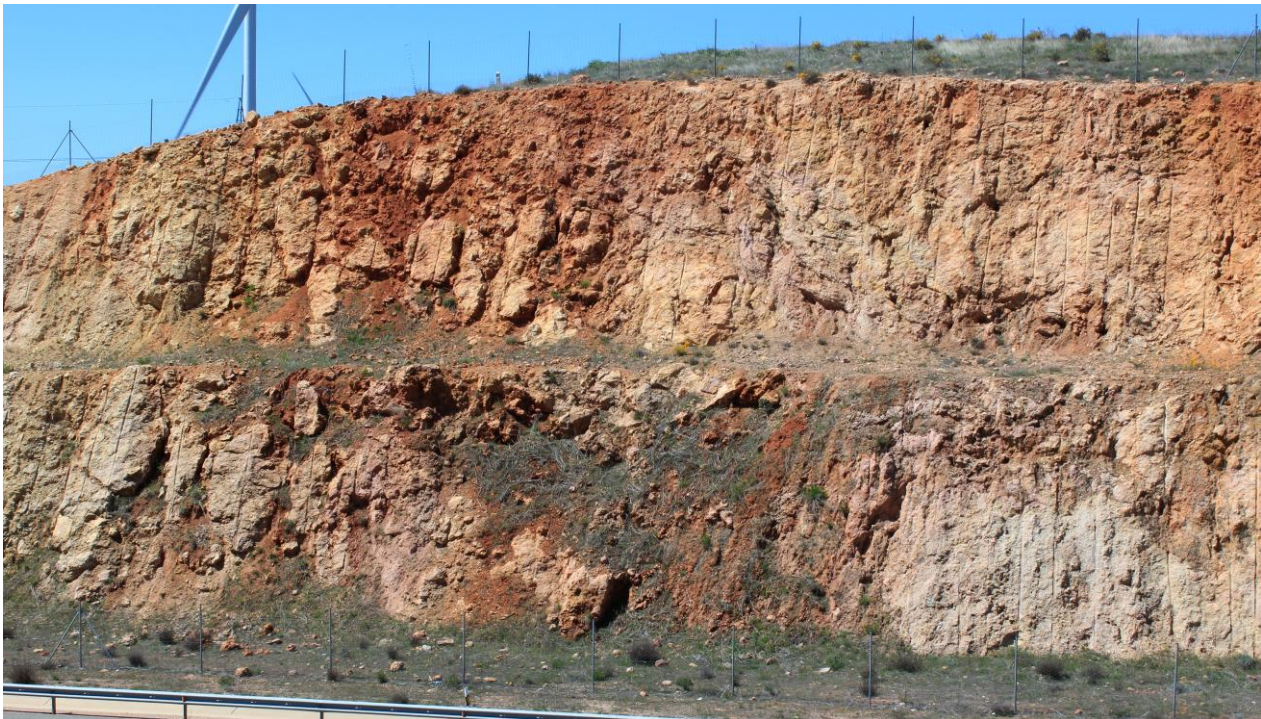
Facies Muschelkalk (A-15, Km 9-10).



Construcción con calizas de la facies Muschelkalk.



Facies Keuper (A-15, Km 9-10).



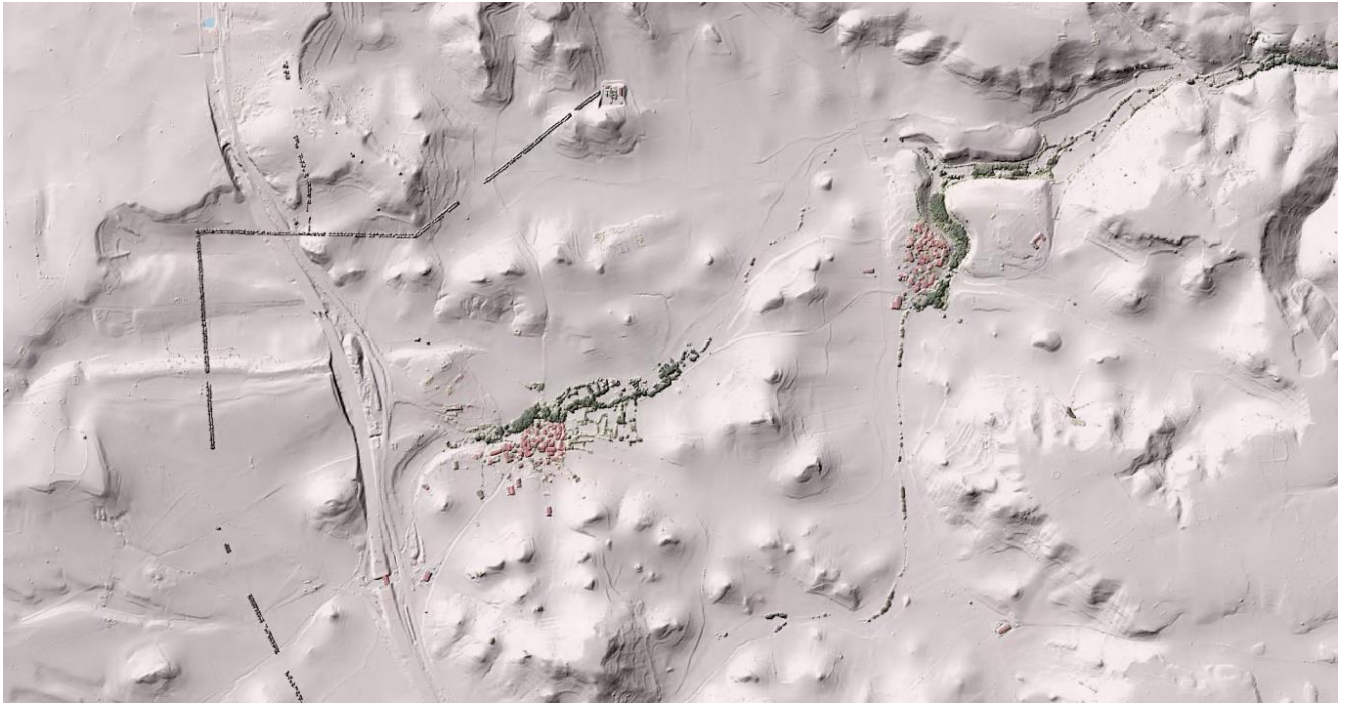
Carniolas de Cortes de Tajuña (A-15, Km 10-11).



Oquedades características en las Carniolas (A-15, Km 10-11).



Morras entre Beltejar y Blocona desde la ermita de San Cristóbal (1169 m.).



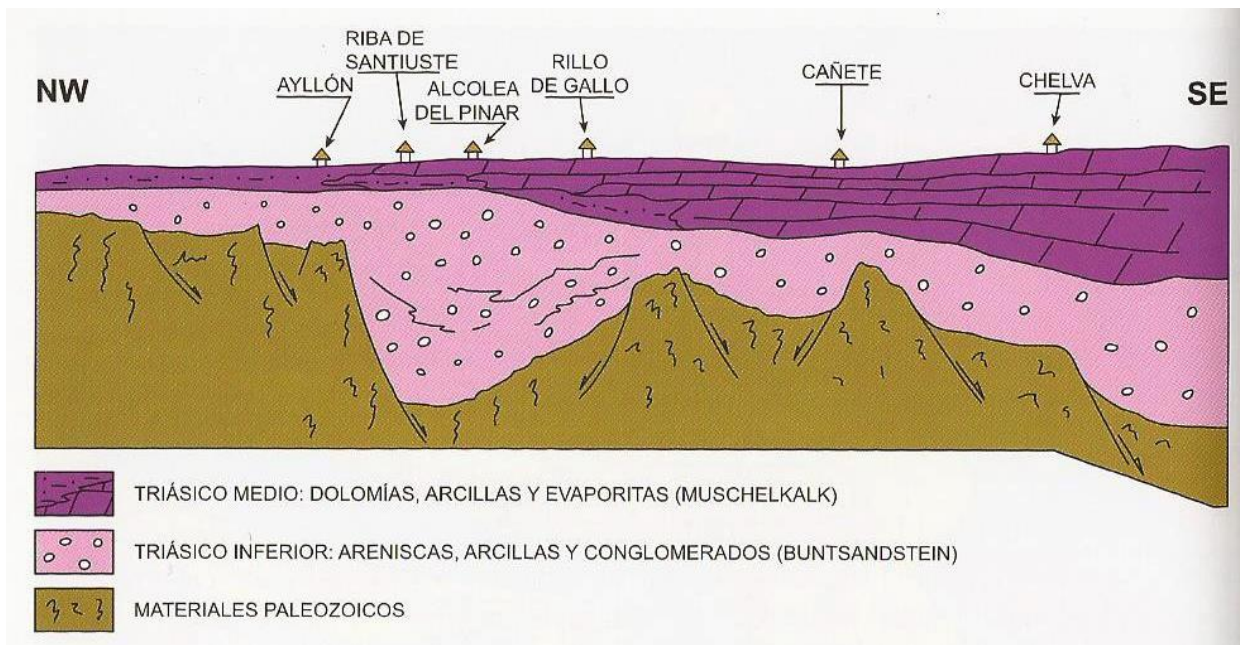
Morras en los alrededores de Beltejar y Blocona (imagen LiDAR).



Erosión remontante del río Valladar, y de su afluente el arroyo de la Carcel (imagen LiDAR).



Materiales de la facies Bunttsandstein en los alrededores de Miño de Medinaceli.



Depósitos del triásico inferior y medio en la cordillera ibérica



Superficie de erosión fundamental de la Cordillera Ibérica contemplada desde el Arco Romano de Medinaceli.



Talud en materiales de Facies Muschelkalk en Medinaceli Estación.

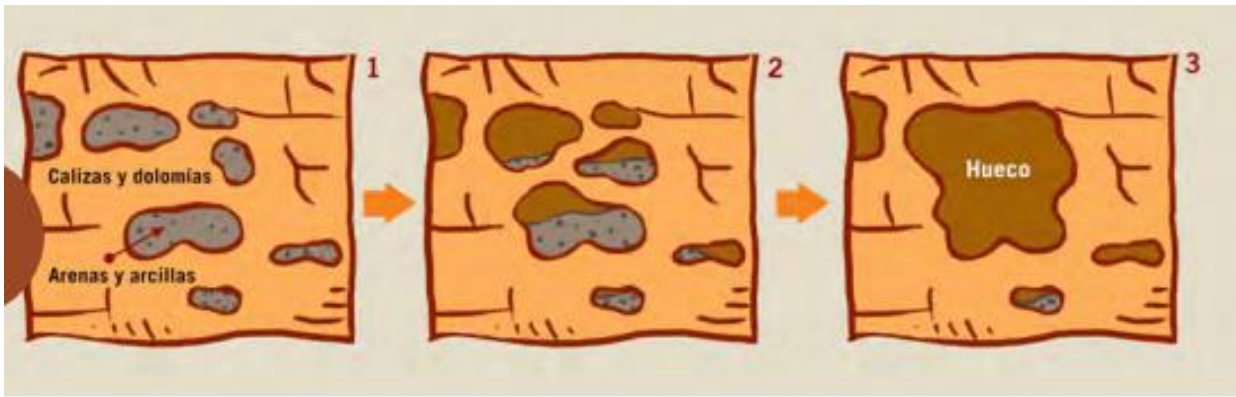


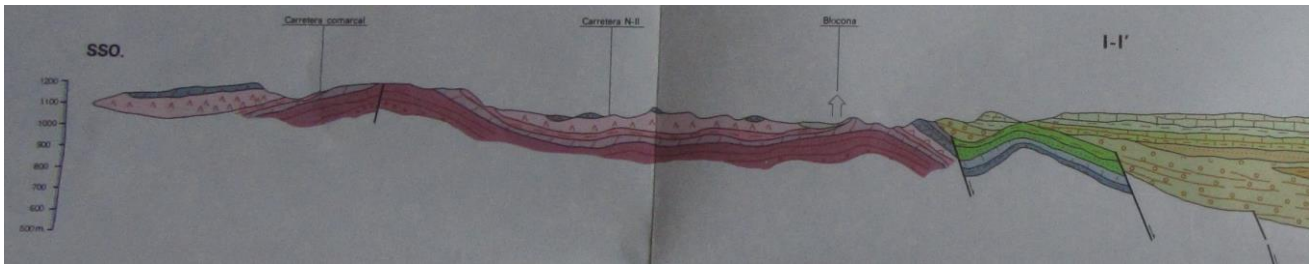
FIGURA 46. EL ORIGEN DEL NOMBRE

Las calizas y dolomías de este lugar, formadas en una zona litoral del antiguo mar que cubrió esta zona hace 240 millones de años, tienen cierto contenido en arenas y arcillas (1). Éstas se erosionan más fácilmente, formándose oquedades (2), a partir de las cuales la erosión y la disolución progresan, agrandándose cada vez más al unirse varios huecos, asemejando 'cuevas labradas' (3).

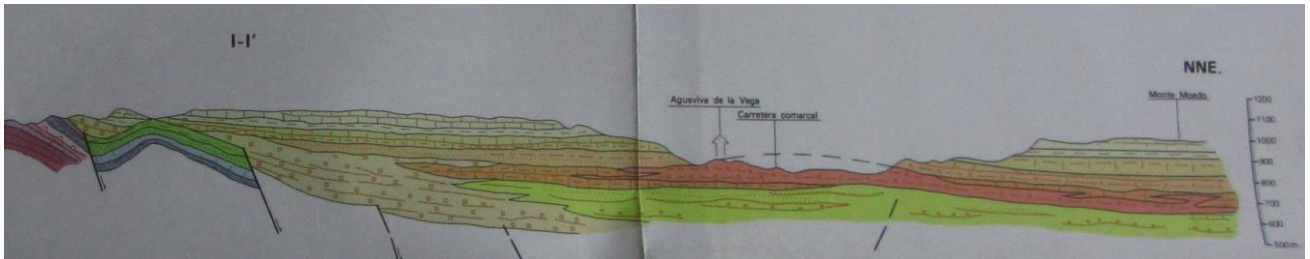
Génesis de oquedades en calizas y dolomías de la formación Cuevas Labradas.



Discordancia mesozoico-miocena y cañón del río Jalón.



Corte SSO – NNE hoja 435 (Arcos de Jalón), primer tramo.



Corte SSO – NNE hoja 435 (Arcos de Jalón), segundo tramo.



Materiales de la depresión de Almazán dispuestos horizontalmente.
Torre Murón 1171 m.



Yesos y arcillas (facies Keuper).

Referencias:

Anguita Virella, F. y Moreno Serrano, F. (1978). Geología procesos internos. Editorial Luis Vives. Zaragoza. 200 p.

Carcavilla L., Ruiz R. y Rodríguez E. (2011). Guía geológica del Parque Natural del Alto Tajo. IGME. Madrid. 267 p.

Cartografía del IGME:

<http://info.igme.es/cartografiadigital/portada/default.aspx?mensaje=true>

Cartografía militar:

<https://www.geamap.com/es/militar-espana>

Imágenes estereoscópicas:

<http://www.ign.es/3d-stereo/>

Lendínez A. (1991). Mapa Geológico de España 1:50.000, hoja nº 435 (Arcos de Jalón) y memoria. IGME. 62 p.

Meléndez Hervía, I. (2004). Geología de España. Una Historia de seiscientos millones de años. Editorial Rueda. Madrid. 277p.

Muñoz Zamora, M. (Coordinadora). (1988). Análisis del Medio Físico de Soria. Delimitación de Unidades y estructura territorial. Dirección General de Urbanismo, Vivienda y Medio Ambiente de la Consejería de Fomento de la Junta de Castilla y León. Valladolid 118 p.

Topografía (iberpix):

<https://www.ign.es/iberpix/visor/>

NOTAS

